

## بیماری لکه‌زاویه‌ای ختمی خوابآلود ناشی از یک پاتووار

\* *Pseudomonas syringae* pv. *syringae* مشابه با

### ANGULAR LEAF SPOT OF SLEEPY MALLOW INCITED BY A PATHOVAR, CLOSELY SIMILAR to *Pseudomonas syringae* pv. *syringae*

پژمان خدایگان<sup>۱</sup>، حشمت الله رحیمیان<sup>۲\*\*</sup>، مسعود شمس‌بخش<sup>۳</sup>،

ماتیوس اوژریخ<sup>۴</sup> و هلگه وینگارت<sup>۴</sup>

(تاریخ دریافت: ۱۳۹۰/۱۱/۱۰؛ تاریخ پذیرش: ۱۳۹۱/۴/۲۸)

#### چکیده

بیماری لکه‌زاویه‌ای ختمی خوابآلود (*Malvaviscus pendulifloru*) در چند سال متوالی در برخی از مناطق استان‌های مازندران و گلستان مشاهده شده است. لکه‌ها به قطر ۳ تا ۴ میلی‌متر، نکروزه، قهوه‌ای رنگ، زاویه‌ای شکل و بدون هاله بودند. از برگ‌های بیمار، یک سودوموناس اکسیداز منفی و تولید کننده لوان جداسازی گردید. جدایه‌ها در ویژگی‌های فوتیپی، نوع و میزان اسیدهای چرب سلولی و توالي ناحیه ITS شبیه به پاتووار *Pseudomonas syringae* ITS بودند و بیماری زایی آنها با مایه‌زنی به برگ‌های ختمی خوابآلود، به اثبات رسید. در واکنش زنجیره‌ای پلی‌مراز با استفاده از آغازگرهای اختصاصی ژن *syrB* در همه جدایه‌ها، یک قطعه ۷۲۰ جفت بازی تکثیر گردید. در الگوی انگشت‌نگاری *rep-PCR*, *DNA*, *P. s.* pv. *syringae* تفکیک شده و میزان شباهت آنها به جدایه مرجع ۲۸ درصد برآورد شد. نتایج حاصل از بررسی مقدماتی دامنه میزانی و تعیین توالي برخی از ژن‌های حفاظت شده ژنومی (*gyrB*, *rpoD*) نشان داد که جدایه‌های بیماری‌زا در ختمی خوابآلود مشابه با پاتووار *Pss* بوده اما احتمالاً می‌توان آنها را در گروه ژنومی یا پاتووار دیگری قرار داد.

واژه‌های کلیدی: سودوموناس سیرینگی، ختمی خوابآلود، تاکسونومی، ایران

\*: بخشی از رساله دکتری نگارنده اول، ارایه شده به گروه بیماری‌شناسی، دانشکده کشاورزی، دانشگاه تربیت مدرس، تهران

\*\*: مسئول مکاتبات، پست الکترونیکی: rahimian@gmail.com

۱. دانشجوی سابق دکتری بیماری‌شناسی گیاهی، دانشگاه تربیت مدرس و استادیار بیماری‌شناسی گیاهی، دانشکده کشاورزی، دانشگاه ولی‌عصر رفسنجان

۲. استاد بیماری‌شناسی گیاهی، دانشکده کشاورزی، دانشگاه کشاورزی و منابع طبیعی ساری

۳. دانشیار بیماری‌شناسی گیاهی، دانشکده کشاورزی، دانشگاه تربیت مدرس، تهران

۴. استاد میکروبیولوژی و دانش زیستی، دانشگاه جاکوب برم، آلمان

## مقدمه

2010; Harighi 2007; Khodaygan *et al.* 2010; Musivand *et al.* 2009; Rahimian 1995 بر اساس طبقه‌بندی مبتنى بر همولوژی DNA در یکی از ۹ گروه ژنومی گاردن و همکاران (Gardan *et al.* 1999, Parkinson *et al.* 2011) دارند. در تعدادی از گزارش‌ها به غیرعادی بودن ویژگی‌های عوامل برخی از بیماری‌های مذکور اشاره شده است. عمله تحقیقات انجام شده به معرفی بیماری از یک منطقه جغرافیایی و یا میزبان‌های خاص و یا مطالعه مقدماتی محدود می‌گردد و اطلاعات جامعی در مورد جایگاه دقیق تاکسونومیکی باکتری، ویژگی‌های میزانی و صحت تشخیص و نام‌گذاری پاتووارهای گزارش شده و بخصوص جدایه‌هایی که غیر عادی به نظر می‌رسند، وجود ندارد. بررسی‌های قبلی به عمل آمده میان جدایه‌های بیماری‌زا در ختمی خواب‌آلود و دیگر بیماری‌گرهای متسبب به پاتووار *P. s. pv. syringae* نشان داده است که این گروه از جدایه‌ها، از نظر نقوش پروتئین‌های محلول سلولی و الگوی اثر انگشتی DNA ژنومی متفاوت از جدایه‌های بیماری‌زا در نیشکر و درختان میوه هسته‌دار می‌باشند و از جمله جدایه‌های غیر عادی ایرانی محسوب می‌گردند (Musivand *et al.* 2009). در سه دهه اخیر تلاش گسترده‌ای برای منظم نمودن سیستم تاکسونومی باکتری‌ها به انجام رسیده است. واژه تاکسونومی چندفازی (پلی‌فازی) که در سال ۱۹۷۰ مطرح گردید به تلفیق اطلاعات داده‌های فنوتیپی (آزمون‌های فیزولوژیکی، بیوشیمیایی و تغذیه‌ای)، شیمیایی، مولکولی، ژنوتیپی و فیلوژنتیکی اشاره دارد تا تعیین جایگاه دقیق تاکسونومیکی یک میکروارگانیسم، امکان‌پذیر باشد (Brenner *et al.* 2005). در این تحقیق تلاش شده است تا با استفاده از روش پلی‌فازی، جایگاه تاکسونومیکی گروهی از جدایه‌های

(Sleepy mallow or sleeping hibiscus) گیاهی زیستی از خانواده Malvaceae می‌باشد. این گیاه در برابر شرایط نامساعد محیطی نسبتاً مقاوم بوده و در بیشتر مناطق آسیا رشد می‌کند و ارتفاع آن به بیش از ۲ متر می‌رسد. از اوایل پاییز گل‌های صورتی تا بنفش رنگی تولید نموده و به وسیله قلمه‌های نیمه‌خشبي ساقه تکثیر می‌شود (Bailey 2005). ختمی خواب‌آلود در برخی از مناطق شمالی کشور نیز به صورت پراکنده می‌روید. این گیاه از اهمیت زیادی برخوردار نبوده و به همین سبب اطلاعات خاصی از بیماری‌های آن در دسترس نیست. از باکتری‌هایی که روی گونه‌های زیستی خانواده مالواسه *Xanthomonas campestris*، *Pseudomonas cichorii* pv. *malvacearum* و *P. syringae* اشاره نمود (Chase 1986). این سه باکتری در ختمی چینی (*Hibiscus rosa-sinensis*) لکه‌برگی ایجاد می‌کنند ولی گزارشی از بیماری‌زایی آنها روی ختمی خواب‌آلود وجود ندارد. اولین بار در سال ۱۳۶۸ دو نوع علائم مختلف از یک بیماری باکتریایی روی برگ‌های این درخت مشاهده و باکتری عامل لکه‌های قهوه‌ای روشن *P. syringae* تشخیص داده شد (Rahimian 1990). نوع دوم از علائم بیماری بروز لکه‌های زاویه‌ای یا نامنظم، سیاه رنگ و دارای هاله روشن بود که اخیراً براساس ویژگی‌های فتوتیپی، بیماری‌زایی و ژنوتیپی جدایه‌ای لوان مثبت از گونه *Pseudomonas viridiflava* تشخیص داده شده است (Rouhrazi & Rahimian 2012). گزارش‌های متعددی از وجود پاتووارهای مختلف *P. syringae* در ایران موجود است، که عامل بیماری‌های گوناگونی هستند (Aldaghi *et al.* 2010; Arabi *et al.* 2006; Bahar *et al.*, 1985; Banapoor *et al.* 1991; Karimi-Kurdistani & Harighi 2008; Khezri *et al.*

قابل استفاده جدایه‌ها، با استفاده از محیط معدنی پایه آیر آیر و همکاران (برگرفته از Schaad *et al.* 2001) بررسی شد. قندها، اسیدهای آلی و اسیدهای آمینه با روش تندال (Tyndall) استریل و به غلظت نهایی ۰/۲ تا یک درصد به محیط پایه اضافه شد. نتایج استفاده یا عدم استفاده از منابع کربنی بر اساس مقایسه میزان رشد و تغییر اسیدیته محیط کشت نسبت به شاهد (محیط آیر فاقد منبع کربنی) تا سه هفته پس از کشت و نگهداری تشتک‌ها در دمای ۲۸°C-۲۵، ارزیابی شد.

**آزمون بیماری‌زاویه و تعیین دامنه میزانی**  
(*Hordeum vulgare*)، جو (*Triticum aestivum*)، بذر گندم و لوبيا (*Phaseolous vulgaris*)، در شرایط گلخانه (دمای ۲۰-۲۸°C) در گلدان‌های محتوی خاک شنی-لومی کاشته و در مرحله ۵ تا ۱۰ برگی، برای مایه‌زنی به کار برده شدن. قلمه نیشکر (*Saccharum interspecies hybrid*) از مزارع بهنمیر و نهال ختمی خواب‌آلود و هلو پلاستیکی نگهداری شدند. جدایه‌های مورد بررسی، روی محیط NAS به مدت ۲۴ ساعت قبل از مایه‌زنی در زیر کیسه‌های سوسپانسیونی با غلظت  $10^8$  cfu/ml (براساس میزان کدری سوسپانسیون در طول موج ۶۰۰ نانومتر و رقیقسازی و کشت رقت‌ها روی محیط NAS و شمارش پرگنه) تهیه شد. سوسپانسیون با محلول پاش دستی روی و پشت برگ‌های گیاهان پاشیده و متعاقب آن برگ‌ها با فرو بردن سنجاق استریل زخم شدند. بخش دیگری از سوسپانسیون به حدود  $10^4$  cfu/ml رقیق شده و با کمک سرنگ به پشت برگ‌های گیاهان و سرشاخه نهال هلو در چند نقطه تزریق شد. به عنوان شاهد از آب مقطر استریل برای تزریق و

غیرعادی *Pss* عامل لکه‌زاویه‌ای ختمی خواب‌آلود مورد بررسی دقیق‌تر قرار گیرد.

## مواد و روش‌ها

### نمونه‌برداری و جداسازی باکتری‌ها

از برگ‌های درختچه‌های ختمی خواب‌آلود، دارای علائم لکه‌برگی قهوه‌ای روشن، در چند نوبت نمونه‌هایی جمع‌آوری و در پاکت‌های کاغذی به آزمایشگاه منتقل شد. بخش‌هایی از برگ که دارای لکه بودند پس از شستشو با آب، جدا شده و داخل تشتک‌های استریل حاوی چند قطره آب مقطر خرد گردید. پس از ۳۰ دقیقه نگهداری در دمای آزمایشگاه، قطره‌ای از سوسپانسیون حاصله روی محیط کشت آگار غذائی حاوی ساکاروز (NAS ۲۳ گرم Nutrient agar، پنج گرم ساکاروز در یک لیتر آب) مخطط گردید. یک جدایه مرجع (*Pss*IBSEF445) که از IBSBF(Biological Institute Culture Collection of Phytopathogenic Bacteria) تهیه گردیده بود و یک جدایه اهدایی آزمایشگاه باکتری شناسی دانشگاه ساری که قبل از جداسازی گردیده بود نیز، روی محیط کشت مذکور کشت داده شد. دو تا سه روز پس از کشت و نگهداری تشتک‌ها در دمای آزمایشگاه، پرگنه‌های برجسته و سفید رنگ، به قطر دو تا سه میلی‌متر در سطح محیط ظاهر شد. تک پرگنه‌های مجرزا برای خالص‌سازی و تکثیر روی محیط کشت King's B مخطط گردید (Schaad *et al.* 2001).

### آزمون‌های بیوشیمیایی و فیزیولوژیک

آزمون‌های بیوشیمیایی و فیزیولوژیک طبق روش‌های متداول (Lelliott & Stead, Fahy & Hayward 1983، Schaad *et al.* 2001، 1987

هیدروکسید پتاسیم یک نرمال اضافه شد و نمونه‌ها به مدت یک دقیقه جوشانده شدند. محلول شفاف (Lysed) حاصله به صورت مستقیم به عنوان DNA الگو در آزمون‌های ژنتیکی استفاده گردید (Arabi *et al.* 2006). برای تعیین غلظت DNA، دو میکرولیتر از اسیدنوكلئیک استخراج شده در ژل آگارز ۰/۸ درصد بارگذاری و الکتروفورز گردید. بررسی غلظت DNA کل استخراج شده با مقایسه شدت نوار حاصله در مقایسه با مقدار مشخصی از DNA فاز لامبدا صورت گرفت (Ausubel *et al.* 1992).

### انگشت نگاری ژنتیکی

مقایسه الگوی اثر انگشتی اسیدنوكلئیک جدایه‌ها با روش rep-PCR(repetitive extragenic palindromic) برنامه توصیه شده و با اندکی تغییر و با استفاده از آغازگرهای ERIC-PCR و BOXA1R-PCR (آغازگرهای بهوسیله شرکت MWG آلمان ساخته شدند) انجام شد (Versalovic *et al.* 1991, Weingart & Volksch 1997).

### شرایط انجام الکتروفورز

الکتروفورز محصولات حاصل از PCR، در ژل آگاروز یک درصد به همراه یک نشانگر وزنی (1 Kb، ساخت شرکت Fermentas) و در بافر تریس-بوریک اسید، (TBE) EDTA ۸۹ میلی مولار تریس، ۸۹ میلی مولار اسید بوریک، دو میلی مولار EDTA، (pH ~ ۸/۲) انجام شد. نمونه‌ها (پنج میکرولیتر) پس از اختلاط با یک میکرولیتر رنگ آماده (6X loading dye) در چاهک‌های ژل ریخته شده و الکتروفورز در اختلاف پتانسیل ۱۰۰ ولت، تا رسیدن بر مرنبلو به انتهای ژل انجام شد. ژل با اتیدیوم بروماید (محلول ۰/۵ میکروگرم در میلی لیتر) رنگ آمیزی و از آن عکس برداری شد (Ausuble *et al.* 1992).

محلول پاشی استفاده شد. بعد از مایه‌زنی، بوته‌ها مجدداً در زیر پوشش پلاستیکی تا ۴۸ ساعت قرار داده شد و پس از برداشتن پوشش، در گلخانه در دمای ۲۲-۳۰°C نگهداری و برای مشاهده علائم به صورت روزانه ارزیابی شدند (Arabi *et al.* 2006).

### بررسی نوع و میزان نسبی اسیدهای چرب سلولی جدایه‌ها

برای بررسی FAME analysis (Fatty acid methyl ester analysis) چهار جدایه باکتری به همراه جدایه Pss (IBSEF 445) مرجع، روی محیط soy agar، Trypticase soy agar، و در دمای ۲۸°C برای ۲۴ ساعت کشت شدند. حدود ۵۰ میلی گرم از سلول‌های باکتری بوسیله لوب پلاتینی به لوله‌های مخصوص با درپوش تغلونی منتقل شد. اسیدهای چرب سلولی به روش ستید (Stead 1992) استخراج گردید. نیم میکرولیتر از اسیدهای چرب محلول شده به دستگاه (Hewlett-Packard 5890) gas chromatograph (GC) مجهز به ستون fused capillary silica و ردیاب flame ionization و دمای ستون روی ۱۷۰°C تنظیم شد و با افزایش پنج درجه‌ای در هر دقیقه، به ۲۷۰°C رسید. اطلاعات به دست آمده از دستگاه GC مستقیماً به رایانه منتقل شد و بهوسیله نرم‌افزار Microbial Identification System Software (MIDI lab, USA) تجزیه و تحلیل گردید (Stead 1992).

### استخراج DNA

جدایه‌ها در محیط NA کشت شدند. پس از دو روز رشد در دمای ۲۵-۲۸°C، سلول‌ها در آب مقطمر سوسپانسیون شدند. کدری (OD) سوسپانسیون‌ها در ۶۰۰ نانومتر به ۰/۱-۰/۲ واحد تنظیم شد. به هر نمونه ۱/۰ حجم

توصیه شرکت سازنده (Promega, USA)، استفاده گردید. قطعات خالص شده پس از الحق در ناقل *E.coli* DH5 $\alpha$  همسانه‌سازی شد. پلاسمید پرگنه‌های نوترکیب، با استفاده از کیت Nucleospin Extract II استخراج و برای تعیین توالی به شرکت MWG ارسال شد. تعیین توالی با روش Di-deoxy با دستگاه‌های ABI و در هر دو جهت (سنس و آنتی‌سنس) و با استفاده از آغازگرهای استاندارد Sp6 و T7، انجام گرفت. هر قطعه یک بار در هر دو جهت و یک بار دیگر در جهت سنس تعیین توالی گردید.

### آنالیز رایانه‌ای و آماری توالی‌ها

توالی‌های به دست آمده، ابتدا با استفاده از برنامه Seqman (DNASTAR Inc., Madison, Wis.) اصلاح شده و سپس با استفاده از برنامه BLAST(NCBI) با توالی‌های دیگر موجود در بانک ژن همردیف گردید چندگانه (Altschul 1990). بررسی مقایسه‌ای با همردیف سازی (Thompson et al. 1994) ClustalW انجام شد (Felsenstein 1989). فاصله ژنتیکی توالی جدایه‌های مختلف و ارتباط فیلوزنوتیکی آنها با یکدیگر و هم‌چنین با تعدادی از جدایه‌های موجود در بانک ژن، با استفاده از برنامه MegAlign Ver. 5.00 در مجموعه MegAlign (DNASTAR Inc.) DNASTAR package (Kumar et al. 2004) MEGA4. برنامه بررسی گردید.

### نتایج جداسازی

از کشت نمونه‌های ختمی خوابآلود که دارای علائم لکه‌برگی قهوه‌ای روشن بودند، جدایه‌هایی با پرگنه‌های محدب سفید رنگ و لعابدار روی محیط NAS به دست

### تعیین شباهت و گروه‌بندی جدایه‌ها

شباهت جدایه‌ها با مقایسه نقوش قطعات DNA در ژل، وجود و عدم وجود قطعات همسان در دو جدایه (نموده‌ی صفر و یک) و محاسبه ضریب تشابه جاکارد (Jaccards coefficient) صورت گرفت. ماتریس تشابه تشکیل و دندروگرام با روش مقایسه جفت‌ها از طریق میانگین‌های بی‌وزن UPGMA (unweighted pair group Method with arithmetic averages، NTSYS 2.02 و MVSP 3.13 (Stenstrom et al. 1990).

### بررسی حضور ژن مولد سرینگومایسین در جدایه‌ها

واکنش PCR در حجم نهایی ۲۵ میکرولیتر و با استفاده از آغازگرهای معروفی شده B2 و B1 انجام شد و محصول آن در ژل آگاروزی ۱ درصد بارگذاری شد (Sorensen et al. 1998).

### تکثیر برخی ژن‌ها و مناطق نیمه حفاظت شده ژنوم جدایه‌ها

ژن *rpoD* و ناحیه بین ژنی اسیدهای نوکلئیک ریبوزومی (intergenic transcribed spacer, ITS) 16S–23S rRNA تکثیر گردید. محصول واکنش در ژل آگاروزی ۱/۵ درصدی بارگذاری گردید (Manceau & Horvais 1997; Yamamoto & Harayama 1995; Mulet et al. 2008).

### همسانه‌سازی و تعیین توالی قطعات

قطعات تکثیر شده با استفاده از کیت Nucleospin Extract II (Macherey-Nagel آلمان) و براساس روش توصیه شده، از ژل جدا و خالص‌سازی گردیدند. جهت تهییه همسانه‌ها از ناقل pGEM easy vector مطابق

آشکارسازی در ژل اگاروز ۷۲۰ جفت باز ارزیابی گردید (شکل ۴).

### اسیدهای چرب جدایه‌ها

نوع و میزان نسبی اسیدهای چرب جدایه مرجع *Pss*(IBSEF445) و چهار جدایه به عنوان نماینده جدایه‌های به دست آمده از ختمی با کروماتوگرافی گازی و به روش FAME analysis تعیین شد. شباهت زیادی میان جدایه‌های بیماری‌زا در ختمی خواب‌آلود، با جدایه مرجع پاتووار *Pss* مشاهده شد. در همه جدایه‌ها اسیدهای چرب ۱۶ کربنه غالب بودند (جدول ۳).

### انگشت‌نگاری ژنتیکی

در الگوی اثر انگشتی BOX-PCR (شکل ۲) جدایه‌های بیماری‌زا در سطح تشابه ۷۸ درصد گروه همگنی را تشکیل داده و میزان شباهت آنها به پاتووار مرجع *Pss* ۲۷ درصد بود. در ERIC-PCR جدایه‌ها ۶۹ درصد به یکدیگر شبیه بوده و در سطح تشابه ۳۰ درصد از پاتووار مرجع متمایز شدن. ضریب کوفیتیکی بین ماتریس تشابه و دنдрوگرام بودند. ضریب میانگین  $r = 0.82$  به دست آمد که نشان‌دهنده همبستگی مناسب دندروگرام با ماتریس تشابه است. تلفیق داده‌ها با استفاده از نرم افزار NTSYS و رسم دندروگرام حاصل از آن نشان داد که می‌توان در سطح تشابه ۲۹ درصد جدایه‌ها را از پاتووار *Pss* تفکیک نمود (شکل ۳).

### بررسی ارتباط فیلوژنتیکی جدایه‌ها براساس توالی نواحی نیمه حفاظت شده ژنوم

درخت فیلوژنتیکی حاصل از توالی‌یابی قطعه ITS نشان داد که نماینده جدایه‌های بیماری‌زا در ختمی خواب‌آلود در کنار اعضاء گروه ژنومی یک قرار دارد (شکل ۶). نتایج

آمد. قطر پرگنه‌ها بعد از دو روز در دمای  $25^{\circ}\text{C}$  حدود دو میلی‌متر و بعد از سه روز حدود سه میلی‌متر و با حاشیه صاف بود. چهل جدایه از نمونه‌های ختمی با پرگنه‌های هم شکل که در محیط King's B رنگدانه فلورسانس تولید کردند، انتخاب و بررسی شدند. کلیه جدایه‌ها، گرم منفی، میله‌ای شکل، متحرک، هوایی، کاتالاز مثبت و اکسیداز منفی بودند و هیچ کدام قادر به تولید آرژنین دی‌هیدرولاز و استفاده از ال-تارتارات نبودند. جدایه‌ها لوان تولید کرده، آربوتین و ژلاتین را هیدرولیز نموده و در برگ‌های توتون واکنش فوق حساسیت ایجاد کردند. بر مبنای این ویژگی‌ها و نیز ویژگی‌های فهرست شده در جدول ۱، جدایه‌ها به عنوان *P. syringae* شناسایی شدند.

### بیماری‌زایی و دامنه میزبانی

هفت روز پس از مایه‌زنی، با هر دو روش محلول‌پاشی و تزریق سوسپانسیون به برگ، در پهنک برگ‌ها لکه‌های نکروزه روشن ظاهر شد. لکه‌ها آبسوتته بوده و گسترش آرامی داشتند (شکل ۱). در همه موارد علایم ایجاد شده پس از مایه‌زنی مصنوعی، مشابه با علایم مشاهده شده در شرایط طبیعی بود. در گیاهان شاهد که تنها با آب مایه‌زنی شده بودند، علایمی ظاهر نگردید. باکتری‌ها، دوباره از King's B، جداسازی گردید. گندم، جو و لوبيا نیز پس از مایه‌زنی با جدایه‌های به دست آمده از ختمی، حساسیت نشان دادند. این جدایه‌ها توانایی آلوده‌سازی نیشکر و هلول را نداشتند.

### ردیابی حضور ژن مولد سرینگومایسین در جدایه‌ها

ژن *syrB* که کدکننده زیر واحد ۱۲۰۰ دالتونی از زهرا به سرینگومایسین است در همه جدایه‌های بیماری‌زا و *Pss* مرجع تکثیر شد. اندازه قطعه تکثیر شده پس از

**جدول ۱. خصوصیات مورفولوژیک، بیوشیمیائی و تغذیه‌ای باکتری‌های جدا شده از ختمی خوابآلود در مقایسه با پاتووار *Pss IBSEF445***

**Table 1. Morphological, biochemical and physiological characteristics of the bacterial strains isolated from sleepy mallow compared with those of *Pss IBSEF445***

| واکنش جدایه مرجع<br>Reaction of a reference strain<br>of <i>Pss</i> (IBSEF451) | واکنش جدایه‌های ختمی خوابآلود<br>Reaction of sleepy mallow<br>bacterial strains | Characteristic  | ویژگی<br>Characteristic                         |
|--|---|---|---|
|  |   | Hydrolysis of:  | یدرولیز:  |
| +  | +   | Esculin, Casein,<br>Gelatin, Arbutin                  | اسکولین، کازئین، ژلاتین، آربوتین                |
| +  | 80  | Tween-80  | توئین ۸۰  |
| +  | 45  | Tyrosin   | تایروزین  |
| +  | +   | Starch  | نشاسته  |
| +  | +   | Gelatin   | ژلاتین  |
| +  | +   | Arabutin  | آربوتین   |
| -  | -   | Starch  | نشاسته  |
| -  | -   | Lecithinase, Oxidase,<br>Arginine dihydrolase         | لستیناز، اکسیداز، هیدرولیز آرژنین               |
| +  | +   | Catalase  | کاتالاز   |
| +  | +   | Growth on 5% NaCl                                     | رشد در محیط حاوی ۵٪ نمک طعام                    |
| -  | -   | Growth on 7% NaCl                                     | رشد در محیط حاوی ۷٪ نمک طعام                    |
| -  | -   | Nitrate reduction,<br>Urease, Production of<br>Indole | احیا نیترات، اورآز، تولید اندول،<br>ایجاد اندول |
| +  | +   | Levan formation                                       | تولید لوان                                      |
| +  | +   | H <sub>2</sub> S production from<br>cyctein           | تولید H <sub>2</sub> S از سیستئین               |
| +  | +   | Tobacco<br>hypersensitivity,<br>Phosphatase activity  | فوق حساسیت در توتون، فسفاتاز                    |
| -  | -   | Production of indole                                  | تولید اندول                                     |
| -  | -   | Potato rot  | لهانیدن سبب زمینی                               |
| +  | +   | Reducing substances<br>from sucrose                   | تولید مواد احیا کننده از سوکرور                 |
| +  | +   | Production of<br>syringomycin                         | تولید سرینگومایسین                              |
|  |   | Acid production from                                  | تولید اسید از:                                  |
| +  | +   | Galactose, Sucrose                                    | گالاکتوز، سوکرور                                |
| -  | -   | Ethanol   | اتانول  |
| +  | +   | D-Arabinol  | د- آرابیتول                                     |
| +  | +   | L-Alanin  | ال- آلانین                                      |
| +  | +   | D-Mannitol  | د- مانیتول                                      |

## ادامه جدول ۱.

Table 1 continued

| واکنش جدایه‌های ختمی<br>Reaction of a reference<br>strain of <i>Pss</i> (IBSEF445) | واکنش جدایه‌های ختمی<br>خواب آلود<br>Reaction of sleepy mallow<br>bacterial strains | Characteristic  | ویژگی  |
|--|---|---|--|
|  | +   | Glycerol, Glucose   | گلیسرول، گلوکز   |
| -  | 3   | D-Trehalose   | د-ترهالوز  |
| +  | +   | D-Sorbitol  | د-سوربیتول   |
| +  | +   | Arabinose   | آرابینوز   |
| +  | 19  | myo-Inositol  | مايواینوزیتول  |
| +  | 70  | Melibiose   | ملی‌بیوز   |
| +  | +   | Fructose  | فروکتوز  |
| +  | +   | meso-Erythritol   | مزواریتریتول   |
| -  | 15  | Adonitol,   | آدونیتول   |
| -  | -   | D-Lactose, Dulcitol   | د-لکتوز، دولسیتول  |
| -  | -   | Rhamnose  | رامنوز   |
| -  | -   | Maltose   | مالتوز   |
| -  | 19  | Raffinose   | رافینوز  |
|  |   | Utilization of  | استفاده از:  |
| +  | +   | Citrate, Succinate,<br>Malonate, Lactate                        | سیترات، سوکسینات، مالونات، لکتات                             |
| -  | -   | Oxalate, Benzoate,<br>Glycine, Salicin, Dextrin,<br>L-Tartarate | اگرالات، بنزووات، سالیسین، گلایسین،<br>دکسترین، ال- تارتارات |

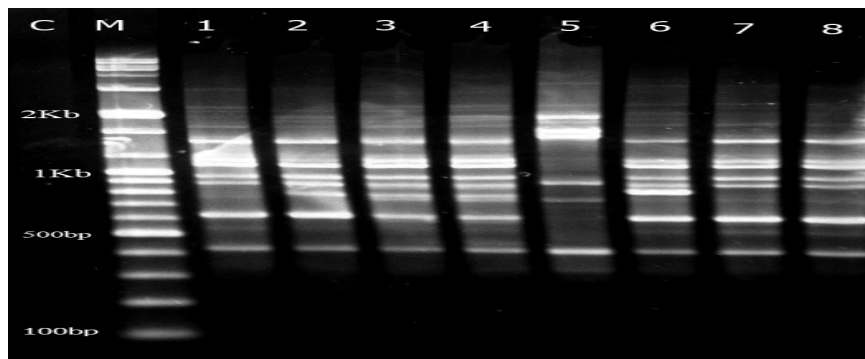
= همه جدایه‌ها پاسخ منفی داده‌اند. + = همه جدایه‌ها پاسخ مثبت داده‌اند. <sup>a</sup> = درصد جدایه‌های که واکنش مثبت داشته‌اند).

- = negative results with all strains. + = positive results with all strains. <sup>a</sup> = percentage of strains with positive reaction.



شکل ۱. لکه زاویه‌ای ایجاد شده در برگ ختمی خواب آلود یک هفته پس از مایه‌زنی با جدایه شماره ۱

Fig. 1. Angular leaf spots appearing on sleepy mallow leaves 7 days after inoculation with strain number 1



شکل ۲. نقوش قطعات حاصل از تکثیر DNA نمایندگانی از جدایه‌های ختمی خواب‌آلود با BOX- PCR (ستون‌های ۱ تا ۸) ستون ۵ C کنترل منفی و M نشانگر جرم مولکولی ۱۰۰ جفت بازی است.

Fig. 2. BOX- PCR fingerprint of bacterial strains isolated from sleepy mallow (lanes 1-8) and those of *Pss* (lane-5) . C: water for DNA template (Negative control). M: 100-bp DNA ladder.

جدول ۲. نوع و درصد اسیدهای چرب موجود در جدایه‌های بدست آمده از ختمی خواب‌آلود و جدایه مرجع

Table 2. Fatty acid profiles of sleepy mallow isolates and reference strain

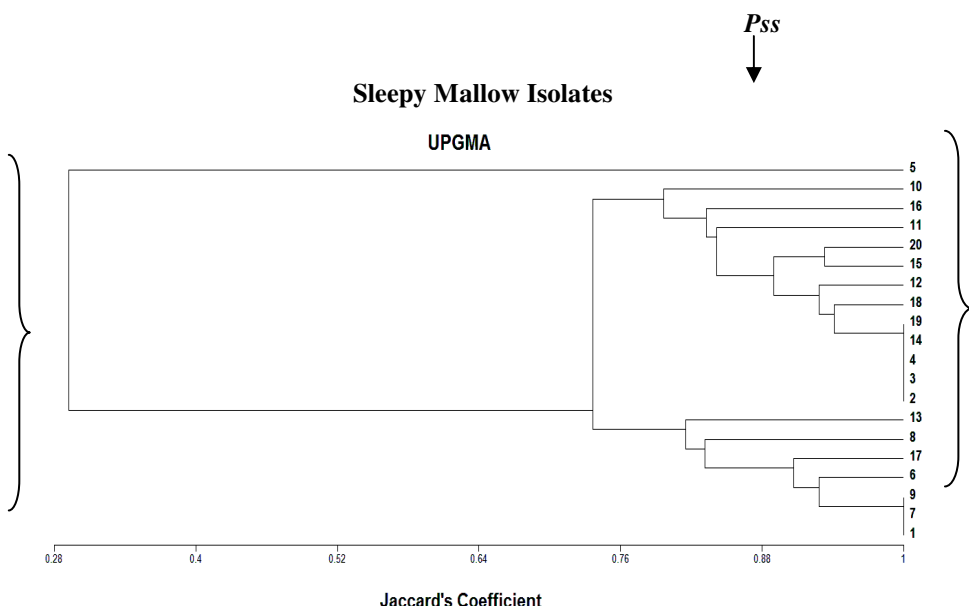
| نوع اسید چرب<br>Fatty acid | درصد اسیدهای چرب<br>Percentage of fatty acids | ختمی خواب‌آلود<br>Sleepy Mallow |
|----------------------------|---|---------------------------------|
| Pss                        |   |                                 |
| 10:0 3-OH                  | 2.6   | 2.5                             |
| 12:0                       | 4.5   | 4.6                             |
| 12:0 2-OH                  | 2.8   | 2.8                             |
| 12:0 3-OH                  | 4.4   | 4.4                             |
| 14:0                       | 0.2   | 0.22                            |
| 14:0 iso                   | 0.21  | 0.2                             |
| 15:0                       | 0.7   | 0.5                             |
| 16:0                       | 27.1  | 27.7                            |
| 17:0 iso                   | 0.2   | 0.2                             |
| 17:0 cyclo                 | 0.28  | 0.3                             |
| 18:0                       | 1.4   | 1                               |
| 18:1 w6c                   | 1   | 1                               |

Pss: *P. s. pv. syringae* (IBSEF445)

### بحث

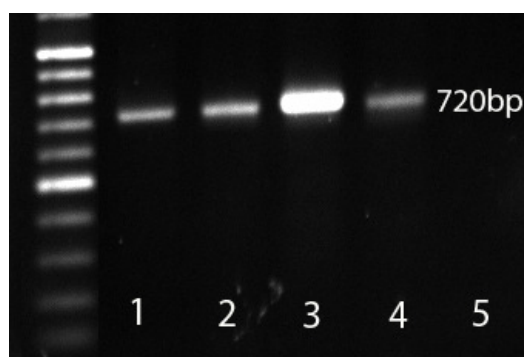
علاوه بر جدایه‌های لکه‌برگی ختمی خواب‌آلود بیش از دو دهه در دو استان مازندران و گلستان مشاهده شده و در بررسی‌های مقدماتی عامل آن *Pss* نام‌گذاری گردیده است (Rahimian 1990). درختان ختمی خواب‌آلود در ایران علاوه بر جدایه‌های متنسب به *Pss* مورد تهاجم بخشی از

توالی‌یابی ژن‌های *gyrB* و *rpoD* تصویر متفاوتی از ارتباط فیلوژنتیکی جدایه‌ها ارائه نمود. تعدادی از اعضای گروه ژنومی دو به دو خوش‌جه جدایه‌ها تقسیم‌بندی شدند. جدایه‌های بیماری‌زای ختمی خواب‌آلود در یکی از دو خوش‌جه مذکور قرار گرفتند (شکل ۵).



شکل ۳. دندروگرام ترکیبی الگوی اثر انگشتی جدایه‌های به دست آمده از ختمی خواب‌آلود با استفاده از روش rep-PCR. شماره‌های ۱ تا ۲۰ جدایه‌های ختمی و شماره ۵ جدایه مرجع Pss است.

**Fig.3.** Dendrogram obtained by comparison of strains isolated from sleepy mallow (number 1 to 20) and Pss (number 5) using rep-PCR.

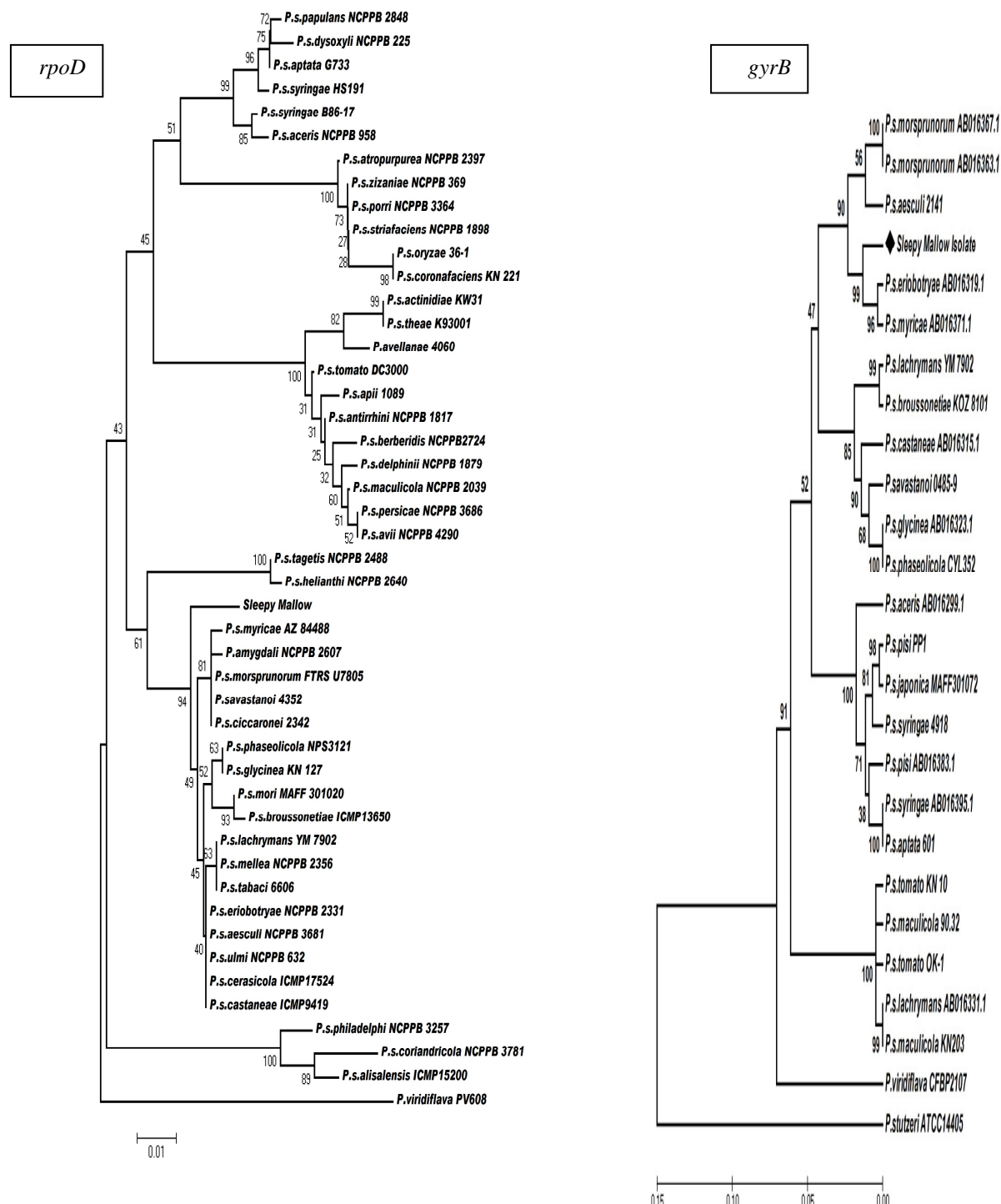


شکل ۴. قطعه ۷۲۰ بازی تکثیر شده از ژن مولد سرینگومایسین در ژل اگاروزی ۱ درصد رنگ آمیزی شده با اتیدیوم بروماید. شماره‌های ۱، ۲ و ۳ جدایه‌های ختمی، شماره ۴ جدایه Pss می‌باشد. شماره ۵ کنترل منفی و M نشانگر جرم مولکولی است.

**Fig.4.** The 720 bp fragment from the syrB gene in 1 % agarose gel stained with etidium bromide. sleepy mallow isolates (Lane 1 to 3). Pss (lane 4). 5: water for DNA template (negative control). M: 1500-bp DNA ladder.

منتسب به Pss قهوه‌ای روشن بوده و معمولاً فاقد هاله مشخصی می‌باشند، حال آنکه جدایه‌های *P. viridiflava* لکه‌هایی در برگ ایجاد می‌نماید که تیره رنگ و دارای هاله است. در بررسی حاضر گیاهانی که دارای علائم لکه‌برگی قهوه‌ای روشن بودند و در دو سال نمونه‌برداری به صورت

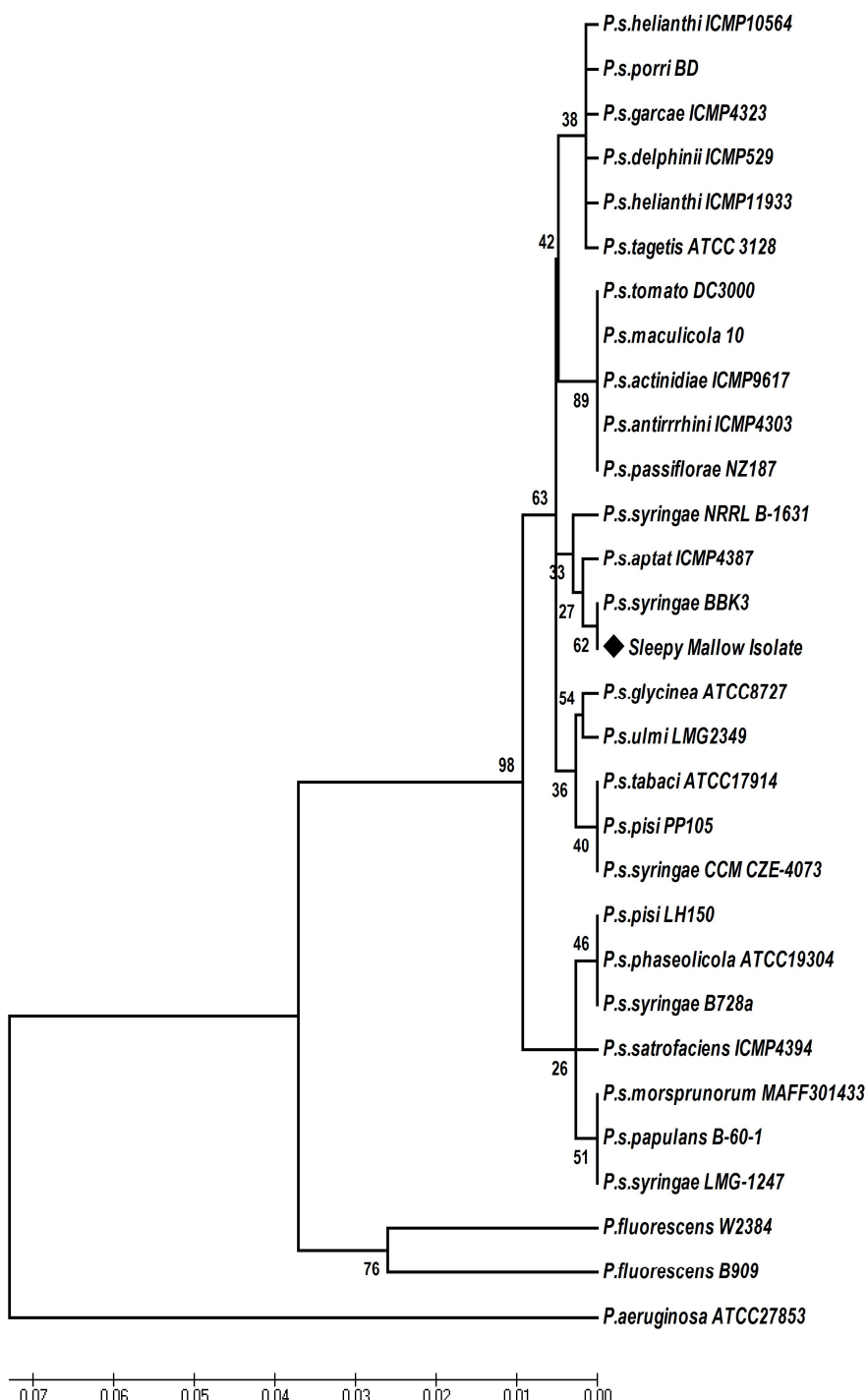
جدایه‌های لوان مثبت *P. viridiflava* نیز قرار می‌گیرند (Rouhrazi & Rahimian 2012). علائم ایجاد شده توسط این دو گروه از باکتری‌های بیماری‌زا تا اندازه‌ای مشابه بوده، اما با توجه به تفاوت در رنگ لکه‌برگی ایجاد شده، قابل تفکیک می‌باشد. لکه‌برگی‌های ناشی از جدایه‌های



شکل ۵. درخت فیلوجنتیکی ترسیم شده با روش Neighber joining، نشان‌دهنده ارتباط ژنتیکی جدایه‌های بیماری‌زا در ختمی خواب‌آلود در مقایسه با تعدادی از پاتووارهای مهم *Pseudomonas syringae*.

درخت‌ها بر اساس: توالی ژن *rpoD* و توالی ژن *gyrB* و با اعتبارستجو ۱۰۰۰ ترسیم شده‌اند.

Fig. 5. Neighbor-joining trees based on sequences of representatives of the studied isolates from sleepy mallow and some type strains of related *Pseudomonas syringae* pathovars. Trees were drawn based on sequences of *rpoD* and *gyrB* gene with 1000 bootstrap.



شکل ۶. درخت فیلوژنتیکی ترسیم شده با روش Neighbor joining نشان دهنده ارتباط ژنتیکی جدایه‌های بیماری‌زا در ختمی خواب‌آلود در مقایسه با تعدادی از پاتووارهای مهم *Pseudomonas syringae*. درخت بر اساس: توالي ناحيه ITS و با اعتبار سنجی ۱۰۰۰ ترسیم شده‌اند

Fig. 6. Neighbor-joining tree based on sequences of representatives of the isolates from sleepy mallow and some type strains of *Pseudomonas syringae* pathovars. Tree was drawn based on sequences of ITS region with 1000 bootstrap.

استفاده از rep-PCR به عنوان ابزاری مفید در شناسایی و تعیین روابط تاکسونومیکی باکتری‌های بیماری‌زای گیاهی Vincente از جمله پاتووارهای *P. syringae* مطرح است ( & Steven 2007; Louws et al. 1994; Rademaker et al. 1997; Weingart & Volksch 1997; al. 1998). اطلاعات به دست آمده از انگشت‌نگاری با استفاده از این نشانگرها و بخصوص BOX-PCR منجر به تفکیک گروه‌های غیرعادی از یکدیگر شده است که عموماً بر اساس اطلاعات فنوتیپی و الگوی اسیدهای چرب غیرقابل تمایز (Koike et al. 1999; Louws et al. 1994; Zhao et al. 2000; Weingart & Volksch 1997) میزانی، تصویری نسبتاً واضح از موقعیت تمایز این گروه از جدایه‌های بیماری‌زا در ختمی، فراهم می‌آورد. جدایه‌های بیماری‌زا نه تنها الگوی اثر انگشتی متفاوتی از جدایه مرجع *Pss* داشته بلکه از نظر دامنه میزانی نیز متفاوت بودند. بدین جهت تعیین قطعی موقعیت تاکسونومیکی آنها نیازمند انجام بررسی‌های دقیق‌تر ژنوتیپی بود. به دلیل وجود تفاوت در طول و توالی نوکلئوتیدی ناحیه ITS، مطالعات متعددی به منظور شناسایی و تعیین روابط اجدادی سودومونادهای بیماری‌زای گیاهی انجام شده‌است. در این تحقیق اطلاعات حاصل از توالی‌یابی ناحیه ITS با یافته‌های ژنوتیپی همخوانی داشت و بر این اساس جدایه‌های بیماری‌زا در کنار پاتووار *Pss* قرار می‌گیرند. در برخی از بررسی‌های مشاهده شده است که تفاوت بسیار اندکی در توالی ناحیه *P. s. pv. tagetis* و *P. s. pv. tomato* ITS میان دو پاتووار وجود دارد، درحالی‌که این دو پاتووار به دو گونه ژنومی (Manceau & Horvais 1997; Kong et al. 2005) مجزا تعلق دارند.

فراگیر در هر دو استان به آنها برخورد شد، مورد مطالعه قرار گرفتند. به نظر می‌رسد بروز هر یک از این دو نوع علائم، به شرایط آب و هوایی ویژه‌ای وابستگی دارد که چگونگی آن مشخص نیست. با توجه به نتایج آزمون‌های فیزیولوژیکی و بیوشیمیایی پژوهش حاضر، این گروه از باکتری‌ها متعلق به گونه *P. syringae* (Palleroni et al. 1973; Schaad et al. 2001; 1973) هستند. براساس طیف منابع کربنی مورد استفاده، باکتری جداسازی شده مشابه با پاتووار Young & Triggs 1994; Schaad et al. 2001;) *Pss* (Bradbury, 1986 در میزان و منطقه جغرافیایی متفاوت، از نظر ویژگی‌های فنوتیپی تفاوتی با جدایه مرجع نداشتند. بنابراین به نظر می‌رسد که استفاده از ویژگی‌های فنوتیپی برای تشخیص این گروه ضروری است اما برای تعیین جایگاه دقیق تاکسونومی آنها کافی نمی‌باشد. این نکته تاییدی بر پیچیدگی زیادی است که در تاکسونومی پاتووارهای این گونه و بخصوص پاتووار *Pss* وجود دارد (Hildebrand et al. 1982; Roos & Hattingh 1987) الگوی اسیدهای چرب سلولی جدایه‌ها، انطباق بالایی با ویژگی‌های فنوتیپی آنها داشت. بر این اساس می‌توان جدایه‌های بیماری‌زا را به گروه ژنومی یک گاردان (Gardan et al. 1999) متعلق دانست و آنها را در کنار پاتووار *Pss* قرار داد. استفاده از پروفیل اسیدهای چرب در طبقه‌بندی و تشخیص سریع سودومونادهای بیماری‌زای گیاهی هم‌واره مورد توجه بوده است (Weller et al. 2000; Oyaizu & Komagata 1983; Stead 1988) احتمالاً این روش نیز مانند ردیابی ژن‌های دخیل در تولید زهرا به، برای شناسایی سریع و کم‌هزینه این گونه مناسب است، اما برای تفکیک جدایه‌ها و پاتووارهایی که بسیار به هم شبیه هستند، کارآیی ندارد. انگشت‌نگاری ژنتیکی با

## جدول ۳. نام و توالی آغازگرهای مورد استفاده و اندازه قطعات مورد انتظار

Table 3. Primer names, sequences and size of expected bands

| آغازگر<br>Primer | توالی<br>Sequence  | اندازه قطعه<br>Size of Band | دماهی اتصال<br>Annealing Temperature |
|------------------|--|-----------------------------|--------------------------------------|
| ITS              | D21- AGCCGTAGGGAAACCTGC GG<br>D22- TGACTGCCAAGGCATCCACC  | 690bp                       | 60°C                                 |
| ERIC             | ERIC1-ATGTAAGCTCCTGGGGATTCA C'<br>ERIC2-AAGTAAGTGACTGGGTGAGCG  | -                           | 45°C                                 |
| BOX              | BOXAIR -CTAC GGCAAGGCGACGCTGAC G-  | -                           | 50°C                                 |
| syrB             | B1- CTTTCCGTGGTCTTGATGAGG<br>B2- TCGATTTCGCCGTAATGAGTC   | 720bp                       | 60°C                                 |
| rpoD             | PsEG30F- ATYGAATGCCAARCG<br>PsEG790R- CGGTTGATKTCCTTGA   | 750bp                       | 52°C                                 |
| gyrB             | UP-1- GAAGTCATCATGACCGTTCTGCAYGCNGGNNGNAARTTYGA<br>UP-2r- AGCAGGGTACGGATGTGCGAGCCRTCNACRTCNGCRTCNGTCAT | 1200bp                      | 60°C                                 |

نسبت به اپران ریبوزومی تکاملی یافته اما این نرخ نسبت به سایر قسمت‌های ژنوم بسیار کمتر است (Case *et al.* 2007; Mulet *et al.* 2008; Tayeb *et al.* 2005) توالی ژن *rpoD* و *gyrB* جدایه‌های ختمی خواب آلود احتمالاً به گروه ژنومی دو گاردان یافته‌های دیگران (Gardan *et al.* 1999) تعلق دارند. این اطلاعات با بررسی قربت ۵۶ استرین از ۱۹ پاتووار با استفاده از توالی ژن *gyrB* منجر به توصیف سه گروه مونوفلیتیک شد. نتایج نشان داد که در گروه یک، تعدادی از اعضای گونه ژنومی یک، دو و سه در یک خوش‌هه قرار دارند. در یکی از مطالعات اخیر نشان داده شده است که توالی ژن *rpoD* گرینه‌ای مناسب برای بررسی ارتباطات فیلوژنتیکی میان پاتووارهای مختلف این گونه است و اطلاعات حاصل تطابق بالایی با نتایج دورگه‌سازی DNA دارد (Parkinson *et al.* 2011). بر این اساس احتمالاً جدایه‌های ختمی نیز گروهی جداگانه هستند که از نظر تکاملی به اعضای گونه ژنومی دو وابسته

احتمالاً استفاده از این ناحیه برای مطالعات تکاملی گاهی به نتایج غیر واقعی منجر می‌گردد. دو گونه خواهی ویژگی‌های مختلف شباهتی بالا دارند با استفاده از توالی این ناحیه در دو خوش‌هه جداگانه قرار گرفتند. جدایه‌های گروه *Pss* نیز در خوش‌ههای مختلف تقسیم شده‌اند. بنابراین اختلافات کوچک در توالی این ناحیه که می‌تواند ناشی از خطای واکنش زنجیره‌ای پلی‌مراز و یا خطای تعیین توالی باشد، سبب تغییر موقعیت یک گونه از یک خوش‌هه دیگر می‌شود. این نکته و هم‌چنین پایین بودن اعتبار دسته‌بندی در برخی خوش‌ههای، که سبب کاهش ارزش خطوط تکاملی ترسیم شده است، استفاده از این توالی را برای مطالعه دقیق روابط فیلوژنتیکی در میان پاتووارهای این گونه، بخصوص جدایه‌های پاتووار *Pss* با تردید همراه نموده است. مشخص گردیده است که ژن‌های کدکننده پروتئین‌هایی مانند *gyrB*, *rpoD* و *rpoB* توان بیشتری در انعکاس رابطه فیلوژنتیک بین گونه‌ها را، دارند (Mulet *et al.* 2008).

پاتووار توصیف نشده *Pss. syringae* یا مشابه با پاتووار معرفی نمود و آنها در کنار *P. viridiflava* به عنوان دومین عامل ایجاد لکهبرگی در درختچه‌های ختمی خوابآلود ایران معرفی نمود. بررسی تعامل این دو باکتری، شرایط ظهور (بهندرت) همزمان و نقش احتمالی هر یک در تشدید یا تخفیف بیماری نیز، موضوعی قابل تأمل می‌باشد.

#### منابع

جهت ملاحظه به صفحات (1-5) متن انگلیسی مراجعه شود.

بوده و یا عضوی از این گونه محسوب می‌شوند که این نتایج با بررسی مقدماتی رحیمیان (Rahimian 1990) همخوانی ندارد. با عنایت به تعریف پاتووار و بخصوص با توجه به اطلاعات حاصل از تعیین توالی ژن‌های *gyrB* و *rpoD*، تفاوت در دامنه میزبانی و الگوی اثر انگشت ژنومی، می‌توان این جدایه‌ها را مشابه با پاتووار *Pss* معرفی نمود. به نظر می‌رسد برای درک بهتر روابط اجدادی و موقعیت دقیق تاکسونومیکی این جدایه‌ها نیاز به بررسی میزان همولوژی DNA و بررسی‌های ژنوتیپی بیشتری است. تا کامل شدن اطلاعات در این زمینه و یا تعیین میزان همولوژی DNA، می‌توان این جدایه‌ها را به عنوان یک